

0.95

ИНСТИТУТ ЯДЕРНОЙ ФИЗИКИ СИБИРСКОГО ОТДЕЛЕНИЯ АН СССР

Препринт. 024

В.С. СЫНАХ

ПОЛУЧЕНИЕ РАДИАЦИОННЫХ ПОПРАВОК К СЕЧЕНИЯМ
ЭЛЕКТРОН-МУОННЫХ ПРОЦЕССОВ С ПОМОЩЬЮ ЭЛЕКТ-
РОННО-ВЫЧИСЛИТЕЛЬНОЙ МАШИНЫ.



Гор. Новосибирск

1963 г.

vt

I. ВВЕДЕНИЕ

Одной из основных задач подготавливаемых в настоящее время во многих местах опытов на встречных электрон-электронных и электрон-позитронных пучках является выяснение пределов применимости современной квантовой электродинамики при высоких энергиях (см., например, обзор /1/). В связи с этим становится актуальным точный расчет сечений электродинамических процессов в высших порядках теории возмущений.

Соответствующие вычисления весьма трудоемки и приводят к трудно обозримым выражениям. Обычно /2-5/ прибегают к различным приближениям, степень корректности и область применимости которых не вполне ясны.

С другой стороны, эти вычисления сводятся к набору хорошо известных стандартных операций, повторяемых многократно. В принципе, такие расчеты представляют удобное поле деятельности для современных электронно-вычислительных машин, которые позволяют производить операции не только над числами, но и над символами /6-8/. Таким образом, появляется возможность получать формулы не "вручную", а на ЭВМ.

В настоящей работе излагается методика аналитического и численного расчета на ЭВМ радиационных поправок порядка e^6 для сечений процессов

$$e^- + \mu^- \rightarrow e^- + \mu^- ,$$

$$e^+ + \mu^- \rightarrow e^+ + \mu^- \quad (e^- + \mu^+ \rightarrow e^- + \mu^+),$$

$$e^- + e^+ \rightarrow \mu^- + \mu^+ ,$$

Основная программа составлена для рассеяния электрона на мюоне одного знака. Переход к другим процессам осуществляется тривиальной заменой переменных. Сравнительно небольшое изменение программы позволяет получить аналогичные результаты для подобных электрон-электронных процессов, а также для соответствующих процессов, сопровождающихся излучением жесткого γ -кванта. Эта работа в настоящее время завершается.

Программа состоит из трех частей:

1. Получение аналитического выражения для вклада от неприводимых диаграмм.

2. Арифметическая часть.

3. Получение численных результатов.

II. ПРОГРАММА ПОЛУЧЕНИЯ АНАЛИТИЧЕСКОГО ВЫРАЖЕНИЯ
ДЛЯ РАДИАЦИОННЫХ ПОПРАВОК.

I. Постановка задачи.

Радиационные поправки, связанные с вершинной частью и собственной массой фотона, хорошо известны /9/ и их учет не представляет трудностей. Наиболее трудоемко вычисление вклада от неприводимых диаграмм (рис. I)

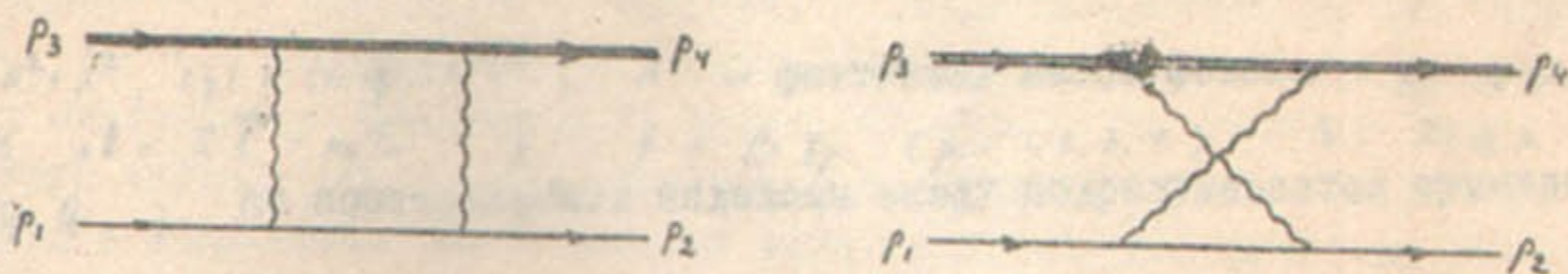


Рис. I.

Здесь p_1 и p_2 — начальный и конечный γ -импульсы электрона, p_3 и p_4 — начальный и конечный γ -импульсы мюона.

Несложная выкладка для $\delta = d\sigma/d\sigma_0$, где $d\sigma_0$ — дифференциальное сечение процесса в первом порядке теории возмущений после усреднения по начальным и суммирования по конечным спиновым состояниям, $d\sigma_1$ — вклад в дифференциальное сечение от неприводимых диаграмм, дает:

$$\delta = \frac{\alpha}{2\pi} \frac{3 Re S_1}{S_0}, \quad (I)$$

Здесь: $\alpha = e^2/137$; $S_0 = \frac{1}{2} [3^2 + \gamma^2 + 4(\mu^2 + 1)\beta + 2(\mu^2 + 1)^2]$;
 $\beta = (p_2 - p_1)^2$; $\gamma = (p_3 - p_1)^2$; $\beta = (p_4 - p_1)^2$ — инварианты процесса,
 $\beta = \gamma - \beta$; μ — масса мюона, масса электрона m принята за 1;

$$S_1 = \frac{1}{i\pi^2} \left[\int \frac{T_2 Q_1 \cdot T_2 Q_2}{(1)(3)(2)(4)} d^4 k + \int \frac{T_2 Q_1 \cdot T_2 Q_3}{(1)(4)(2)(3)} d^4 k \right], \quad (2)$$

где

$$Q_1 = \hat{p}_1 \gamma_5 \hat{p}_2 \gamma_5 \hat{p}_3 \gamma_5 + \hat{p}_1 \gamma_5 \hat{p}_2 \gamma_5 \hat{k} \gamma_5 - m^2 \hat{p}_1 \gamma_5 \gamma_5 \hat{p}_3 \gamma_5 - m^2 \gamma_5 \hat{p}_2 \gamma_5 \hat{p}_3 \gamma_5 - m^2 \gamma_5 \gamma_5 \hat{k} \hat{p}_3 \gamma_5,$$

$$Q_2 = \hat{\rho}_3 \gamma_t \hat{\rho}_4 \gamma_c \hat{\rho}_3 \gamma_p - \hat{\rho}_3 \gamma_t \hat{\rho}_4 \gamma_c \hat{\rho}^2 \gamma_t - \mu^2 \hat{\rho}_3 \gamma_t \gamma_c \gamma_p -$$

$$- \mu^2 \gamma_t \hat{\rho}_4 \gamma_c \gamma_p - \mu^2 \gamma_t \gamma_c \hat{\rho}_3 \gamma_p + \mu^2 \gamma_t \gamma_c \hat{\rho}^2 \gamma_p ,$$

$$Q_3 = \hat{\rho}_3 \gamma_t \hat{\rho}_4 \gamma_p \hat{\rho}_4 \gamma_c + \hat{\rho}_3 \gamma_t \hat{\rho}_4 \gamma_p \hat{\rho}^2 \gamma_c - \mu^2 \hat{\rho}_3 \gamma_t \gamma_p \gamma_c -$$

$$- \mu^2 \gamma_t \hat{\rho}_4 \gamma_p \gamma_c - \mu^2 \gamma_t \gamma_p \hat{\rho}_4 \gamma_c - \mu^2 \gamma_t \gamma_p \hat{\rho}^2 \gamma_c ;$$

$$(1) = \mu^2 + 2\kappa\rho, \quad (2) = \mu^2 - 2\kappa\rho_3, \quad (4) = \mu^2 + 2\kappa\rho_4,$$

$(K) = \mu^2 + \lambda^2, \quad (\varphi) = (\mu - \gamma)^2 + \lambda^2; \quad \lambda$ — фиктивная масса фотона; $\gamma = \rho_2 - \rho_1$; метрика: $a^{\mu\nu} = \tilde{g}^{\mu\nu} - a_{\mu}a^{\nu}$; $\hat{\rho} = \rho_{\mu} \gamma_{\mu}$ ($\mu = 1, 2, 3, 4$); $\gamma_{\mu} \varphi = \frac{1}{4} s_{\mu} Q$; по повторяющимся индексам всюду подразумевается суммирование.

Программа выражает S_L в виде суммы одночленов, каждый из которых представляет произведение численного коэффициента, квадратов масс частиц, инвариантов γ и φ и некоторых функций инвариантов, которые будем называть стандартными функциями для данной задачи.

Стандартные функции задачи, обозначенные $U, \bar{U}, A', A'', \bar{A}', \bar{A}'', \ell'', K'', N'', L'', H^{(1)}, H^{(2)}, K^{(1)}, N^{(1)}$, определены из соотношений:

$$\frac{1}{i\pi^2} \int \frac{d^4 k}{(3)(2)(\varphi)} = \frac{1}{i\pi^2} \int \frac{d^4 k}{(4)(K)(\varphi)} = U,$$

$$\frac{1}{i\pi^2} \int \frac{d^4 k}{(1)(2)(\varphi)} = \bar{U},$$

$$\frac{1}{i\pi^2} \int \frac{\kappa \gamma d^4 k}{(3)(2)(\varphi)} = A' \rho_{3c} + A'' \varphi_c,$$

$$\frac{1}{i\pi^2} \int \frac{\kappa \gamma d^4 k}{(4)(2)(\varphi)} = \bar{A}' \rho_{1c} + \bar{A}'' \varphi_c,$$

$$\frac{1}{i\pi^2} \int \frac{d^4 k}{(1)(3)(2)(\varphi)} = \ell'',$$

$$\frac{1}{i\pi^2} \int \frac{d^4 k}{(1)(3)(4)(\varphi)} = H'',$$

$$\frac{1}{i\pi^2} \int \frac{\kappa \sigma d^4 k}{(1)(3)(2)(\varphi)} = K'' \rho_{1c} - N'' \rho_{3c}$$

или

$$\frac{1}{i\pi^k} \int \frac{\rho_{10} d^4 k}{(1)(3)(5)} = K''' \rho_{20} - N''' \rho_{40} + H''' \rho_0 \quad (3)$$

Величины с верхним индексом 2 получаются из соответствующих величин с верхним индексом 1 заменой (3) (4), т.е. $\rho_3 \rightarrow \rho_4$.

2. Кодировка исходной информации.

Ячейка памяти используемой ЭВМ содержит 15 восьмеричных разрядов $\epsilon_1, \epsilon_2, \dots, \epsilon_5$ (нумерация слева направо). Первые три из них образуют "порядок" \mathcal{P} , остальные - "мантиссу". Мантисса делится на три "адреса" A_1, A_2, A_3 .

Большинство буквенных обозначений задачи закодировано в виде двузначного восьмеричного числа, которое будем называть кодом буквенного символа или просто символом и обозначать буквами греческого алфавита с индексами, смысл которых ясен из рис.2. Два символа, записанных в одном адресе, будем называть спаянными символами или парой.

\mathcal{P}	A_1	A_2	A_3
$\epsilon_1 \epsilon_2 \epsilon_3$	$\alpha_1^{(1)} \alpha_2^{(1)} \alpha_3^{(1)}$	$\alpha_1^{(2)} \alpha_2^{(2)} \alpha_3^{(2)}$	$\alpha_1^{(3)} \alpha_2^{(3)}$

Рис. 2.

В машину вводится информация о q_1, q_2, q_3 . Каждый одночлен, входящий в q_{1-3} , занимает одну ячейку в участке памяти машины, отведенном для исходной информации. Информация о матричной части одночлена записывается в мантиссе, остальная - в порядке. Каждый буквенный символ матричной части закодирован двузначным восьмеричным числом, причем для величин типа $\hat{\rho}$ пуста первая позиция кода символа, а для кодов γ -матриц с индексами пуста вторая позиция кода. Конкретно принята кодировка:

$$\hat{\rho}_1 \leftrightarrow 01, \hat{\rho}_2 \leftrightarrow 02, \hat{\rho}_3 \leftrightarrow 03, \hat{\rho}_4 \leftrightarrow 04, \hat{\rho}_5 \leftrightarrow 05;$$

$$\gamma_p \leftrightarrow 10, \gamma_c \leftrightarrow 20, \gamma_t \leftrightarrow 30.$$

В ϵ_1 записывается знак одночлена: $+$ $\leftrightarrow 0$, $-$ $\leftrightarrow 2$;

в ϵ_3 - сведения о множителях M^2 или m^2 : отсутствие множителя $\leftrightarrow 0$, $m^2 \leftrightarrow 1$, $M^2 \leftrightarrow 2$.

Например:

$$\begin{aligned} \hat{\rho}, \gamma_t \hat{\rho}_2 \gamma_c \hat{\rho}, \gamma_p &\leftrightarrow 000 \quad 0130 \quad 0220 \quad 0110 \\ - m^2 \gamma_t \gamma_c \hat{\rho}, \gamma_p &\leftrightarrow 201 \quad 3020 \quad 0110 \quad 0000 \end{aligned}$$

3. Кодировка результатов.

Для каждого одночлена результата отведено две ячейки памяти. В одной из них записан численный коэффициент, в другой – алгебраическая структура одночлена, т.е. входящие в него сомножители. Для записи алгебраической структуры используется только мантисса. Каждому сомножителю отвечает определенный символ и определенное место в строке в зависимости от типа сомножителя (рис.3):

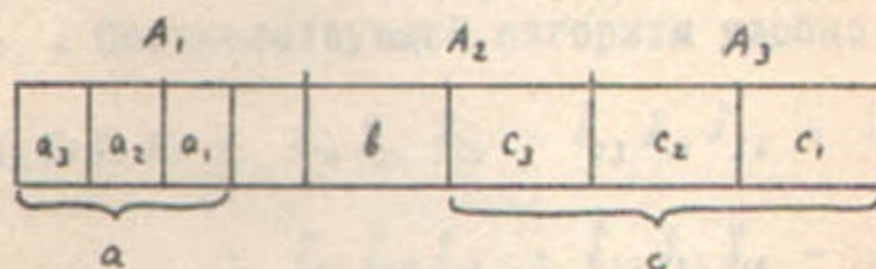


Рис. 3.

1) Символы \exists и \forall записываются в группу разрядов, обозначенную a :

$$\exists \leftrightarrow 1, \forall \leftrightarrow 2$$

2) Стандартные функции $\ell^{(n)}$ и $\ell^{(1)}$ записываются в два разряда b :

$$\ell^{(n)} \leftrightarrow 07, \ell^{(1)} \leftrightarrow 13$$

3) Остальные стандартные функции, а также M^2 и m^2 записываются в разряды c :

$$y \leftrightarrow 01, \bar{y} \leftrightarrow 02, A' \leftrightarrow 03, A'' \leftrightarrow 04, \bar{A}' \leftrightarrow 05$$

$$\bar{A}'' \leftrightarrow 06, K^{(n)} \leftrightarrow 10, K^{(1)} \leftrightarrow 11, N^{(n)} \leftrightarrow 12, N^{(1)} \leftrightarrow 14,$$

$$K^{(n)} \leftrightarrow 15, N^{(n)} \leftrightarrow 16, M^2 \leftrightarrow 17, m^2 \leftrightarrow 20$$

Каждая группа разрядов заполняется слева направо, причем символы в пределах группы располагаются в порядке убывания их кодов. Вместо величины x^n записывается $\underbrace{xx\dots x}_n$.

Например:

$$\exists N^{(n)} M^2 \leftrightarrow 0010 0000 1617$$

$$\exists \ell^{(n)} m^2 \leftrightarrow 0120 0700 0020$$

$$\ell^{(n)} M^6 \leftrightarrow 0000 1320 2020$$

4. Программа алгебраического вычисления следов произведений χ -матриц (ПВШ)

Основная программа распадается на несколько подпрограмм. Целесообразно рассмотреть эти подпрограммы в отдельности, во-первых, для удобства, во-вторых, потому, что они представляют и самостоятельный интерес, т.к. их комбинация позволяет решать другие родственные задачи.

Первой из них является программа вычисления следов произведений γ -матриц ("шпурование"). Исходная информация ("аргумент" программы) — одночлен из Q_{1-3} . Соответствующий алгоритм удобно представить в виде:

$$\begin{aligned} T_2 y_1 y_2 y_3 y_4 y_5 y_6 &= \delta_{12} \delta_{34} \delta_{56} - \delta_{23} \delta_{14} \delta_{56} + \delta_{31} \delta_{24} \delta_{56} - \\ &\quad - \delta_{23} \delta_{45} \delta_{16} + \delta_{34} \delta_{25} \delta_{16} - \dots \end{aligned} \tag{4}$$

(Здесь цифры имеют смысл буквенных индексов).

Реализация этого алгоритма сводится к последовательной циклической перестановке символов и последующему об'единению символов в пары. После об'единения символов в пары их смысл в соответствии с (4) меняется: символы 01, 02, 03, 04 означают векторы P_1, P_2, P_3, P_4 ; символы 10, 20, 30 означают индексы ρ, σ, τ компонент векторов; два сцепленных символа индексов означают величину типа $\delta_{\mu\nu}$; два сцепленных символа векторов означают скалярное произведение их.

Например:

$$0201 \leftrightarrow p_2 p_t, \quad 3004 \leftrightarrow p_{4\tau}, \quad 2010 \leftrightarrow \delta_{op}.$$

Для облегчения "опознавания" такого рода величин символы в паре располагаются так, чтобы $\alpha_1 > \alpha_2$. Тогда символ индекса автоматически оказывается первым.

Информация, записанная в порядке ПВШ не изменяется, за исключением, конечно, ϵ_1 (знак). Результаты располагаются в последовательных ячейках памяти. В конце ставится маркер.

Пример:

Преобразование

$$T_2 \hat{p}_1 \gamma_i \hat{p}_2 \gamma_5 \hat{p}_3 \gamma_5 = p_{12} p_{25} p_{13} - p_{23} p_{15} p_{13} + (p_2 p_1) \delta_{i5} p_{13} - \dots$$

в "машинном изложении" выглядит так:

000 0130 0220 0110 → 000 3001 2002 1001 }
 200 3002 2001 1001 } 15 ячеек
 000 0201 3020 1001 }
 }
 }
 маркер

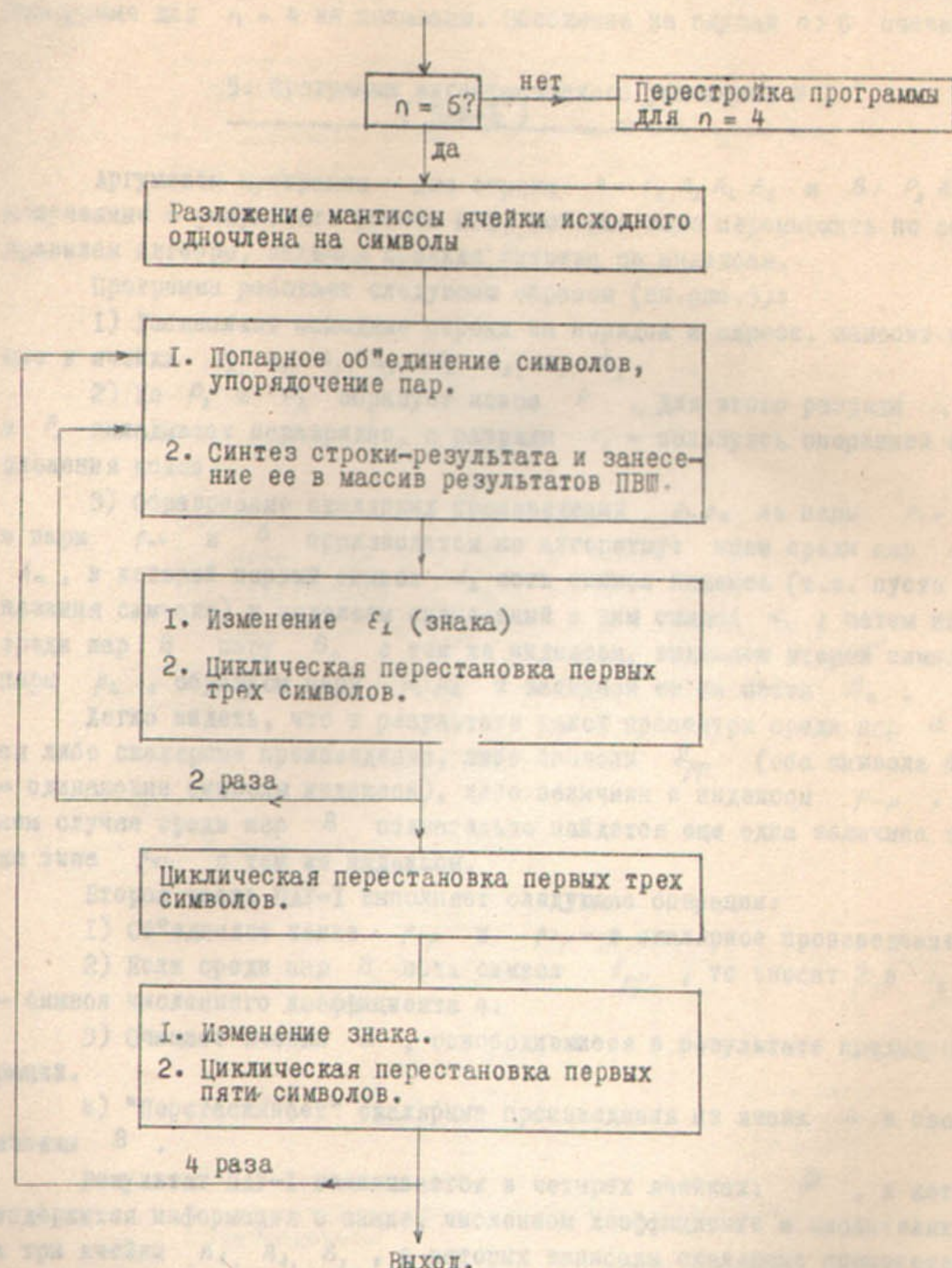


Рис. 4.

Блок-схема ПВШ для $n = 6$ γ -матриц приведена на рис.4.^{x)} Изменения в программе для $n = 4$ не показаны. Обобщение на случай $n > 6$ очевидно.

5. Программа алгебраического умножения № I (ПАУ-І)

Аргументы программы – две строки $A = P_1 A_1 A_2 A_3$ и $B = P_2 B_1 B_2 B_3$, полученные в результате работы ПВШ, которые надо перемножить по обычным правилам алгебры, включая правила свертки по индексам.

Программа работает следующим образом (см.рис.5):

1) Расщепляет исходные строки на порядок и адреса, заносит последние в ячейки $P_1, A_1, A_2, A_3, P_2, B_1, B_2, B_3$.

2) Из P_1 и P_2 образует новое P . Для этого разряды c , из P_1 и P_2 складывает поразрядно, а разряды e_3 – пользуясь операцией обычного сложения кодов.

3) Образование скалярных произведений $P_i P_n$ из пары $P_{i\mu}$ в A и пары $P_{n\mu}$ в B производится по алгоритму: ищем среди пар A пару A_m , в которой первый символ α_1 есть символ индекса (т.е. пуста вторая позиция символа) и выделяем сцепленный с ним символ α_2 ; затем находим среди пар B пару B_n с тем же индексом, выделяем второй символ этой пары β_2 , образуем пару $\alpha_2 \beta_2$ и засыпаем ее на место B_n .

Легко видеть, что в результате такой процедуры среди пар B окажутся либо скалярные произведения, либо символы $\delta_{\mu\mu}$ (оба символа пары – одинаковые символы индексов), либо величины с индексом $P_{n\mu}$. В последнем случае среди пар B обязательно найдется еще одна величина такого же типа $P_{k\mu}$ с тем же индексом.

Вторая часть ПАУ-І выполняет следующие операции:

1) Объединяет такие $P_{n\mu}$ и $P_{k\mu}$ в скалярное произведение $P_{n\mu} P_{k\mu}$.

2) Если среди пар B есть символ $\delta_{\mu\mu}$, то вносит 2 в c_2 из P – символ численного коэффициента 4.

3) Очищает ячейки B , освободившиеся в результате предыдущих операций.

4) "Перетаскивает" скалярные произведения из ячеек A в свободные ячейки B .

Результат ПАУ-І записывается в четырех ячейках: P , в которой содержится информация о знаке, численном коэффициенте и множителях m^2 и m^2 и три ячейки B_1, B_2, B_3 , в которых записаны скалярные произведения. Часть последних ячеек может оказаться пустой. Пары, изображающие скалярные произведения, упорядочены в прежнем смысле ($\alpha_1 > \alpha_2$). При этом символ κ автоматически оказывается первым.

x) На заключительном этапе излагаемой работы нам стала известна работа Кайзера /10/, содержание которой частично перекрывается с содержанием этого раздела.

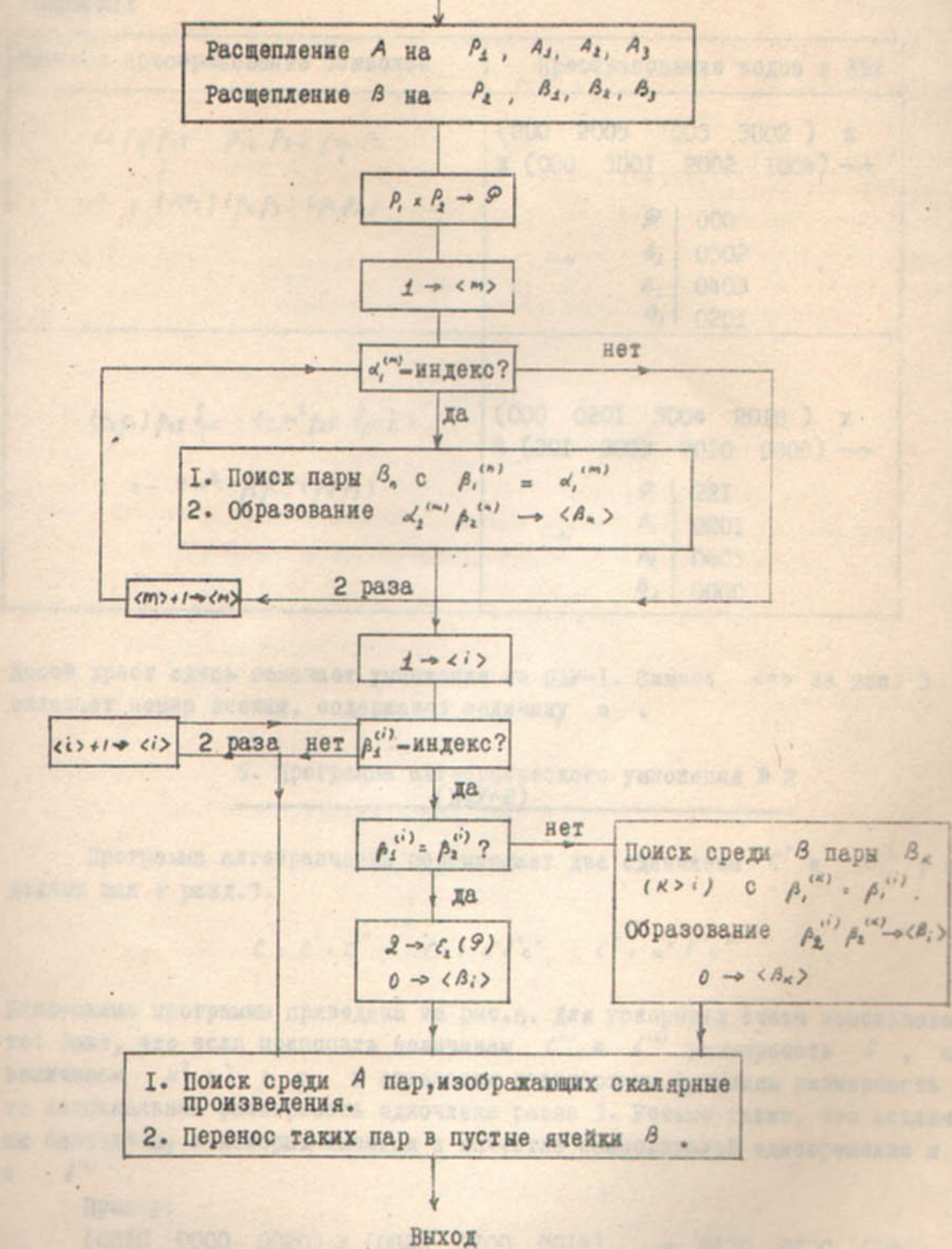


Рис. 5.

Действие программы ПАУ-І может быть проиллюстрировано на следующих примерах:

Обычное преобразование символов	Преобразование кодов в ЭВМ
$\kappa \cdot p_3 p_{1\bar{2}} \cdot p_{1\bar{2}} p_{2\sigma} p_{4\mu} =$ $= (\kappa p_2) (p_4 p_3) (p_1 p_{1\bar{2}})$	$(000 \ 2005 \ 1003 \ 3002) \times$ $x (000 \ 3001 \ 2002 \ 1004) \rightarrow$ $\begin{array}{l l} \varphi & 000 \\ \rightarrow & B_1 \ 0502 \\ & B_2 \ 0403 \\ & B_3 \ 0201 \end{array}$
$(p_2 p_1) p_{4\bar{2}} \delta_{p^c} \cdot (-m^2 p_{3\bar{2}} \delta_{p^c}) =$ $= -4m^2 (p_2 p_1) (p_4 p_3)$	$(000 \ 0201 \ 3004 \ 2010) \times$ $x (201 \ 3003 \ 2010 \ 0000) \rightarrow$ $\begin{array}{l l} \varphi & 221 \\ \rightarrow & B_1 \ 0201 \\ & B_2 \ 0403 \\ & B_3 \ 0000 \end{array}$

Косой крест здесь означает умножение по ПАУ-І. Символ $\langle a \rangle$ на рис. 5 означает номер ячейки, содержащей величину a .

6. Программа алгебраического умножения № 2 (ПАУ-2)

Программа алгебраически перемножает два одночлена C' и C'' , заданных как в разд. 3.

$$C = C' \times C'', \quad C' = a' b' c', \quad C'' = a'' b'' c''$$

Блок-схема программы приведена на рис. 6. Для ускорения счета использован тот факт, что если приписать величинам b'' и $b^{(1)}$ размерность 0, а величинам m^2 , m^2 , j , η и остальным стандартным функциям размерность I, то максимальная размерность одночлена равна 3. Учтено также, что исключены одночлены, в которых имеются в качестве сомножителей одновременно b'' и $b^{(1)}$.

Пример:

$$(0010 \ 0000 \ 0020) \times (0020 \ 0700 \ 0017) \rightarrow 0120 \ 0700 \ 1720,$$

т.е.

$$m^2 j \cdot m^2 \eta b'' = m^2 m^2 j \eta b''$$

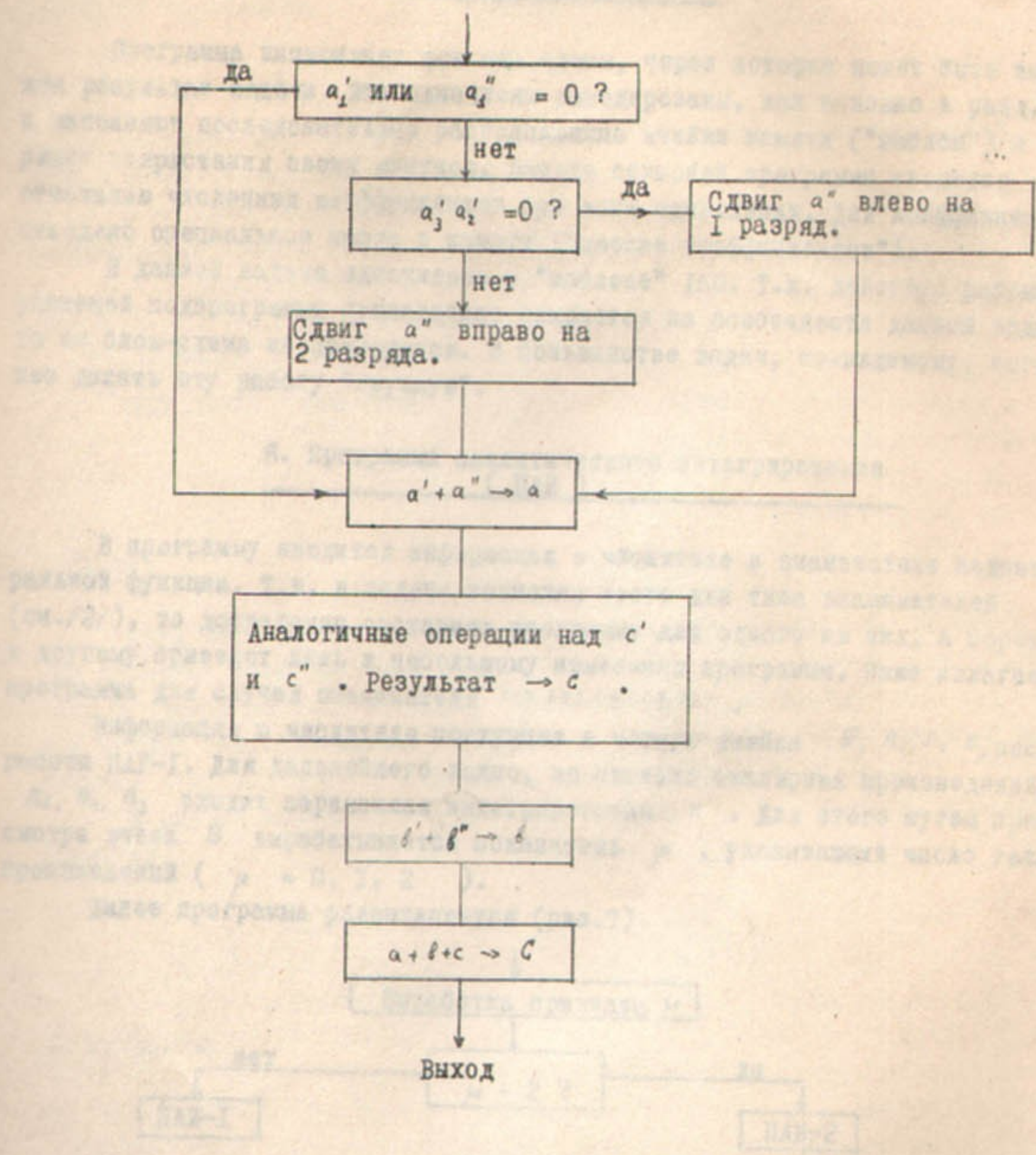


Рис. 6.

7. Программа "Шаблон"

Программа выписывает все одночлены, через которые может быть выражен результат задачи. Эти одночлены закодированы, как описано в разд.3, и заполняют последовательно расположенные ячейки памяти ("шаблон") в порядке возрастания своих мантисс. Работа основной программы сводится к отысканию численных коэффициентов при этих одночленах. Для коэффициентов отведено специальное место в памяти ("массив коэффициентов").

В данной задаче одночленов в "шаблоне" 160. Т.к. действие рассматриваемой подпрограммы существенно опирается на особенности данной задачи, то ее блок-схема не приводится. В большинстве задач, по-видимому, выгоднее делать эту работу "вручную".

8. Программа аналитического интегрирования (ПАИ)

В программу вводится информация о числителе и знаменателе подинтегральной функции. Т.к. в задаче возможны всего два типа знаменателей (см./2/), то достаточно составить программу для одного из них, а переход к другому приведет лишь к небольшому изменению программы. Ниже излагается программа для случая знаменателя $(1)(z)(x)(y)$.

Информация о числителе поступает в четыре ячейки φ, B_3, B_2, B_1 после работы ПАУ-1. Для дальнейшего важно, во сколько скалярных произведений B_3, B_2, B_1 входит переменная интегрирования x . Для этого путем просмотра ячеек B вырабатывается показатель μ , указывающий число таких произведений ($\mu = 0, 1, 2$).

Далее программа разветвляется (рис.7)

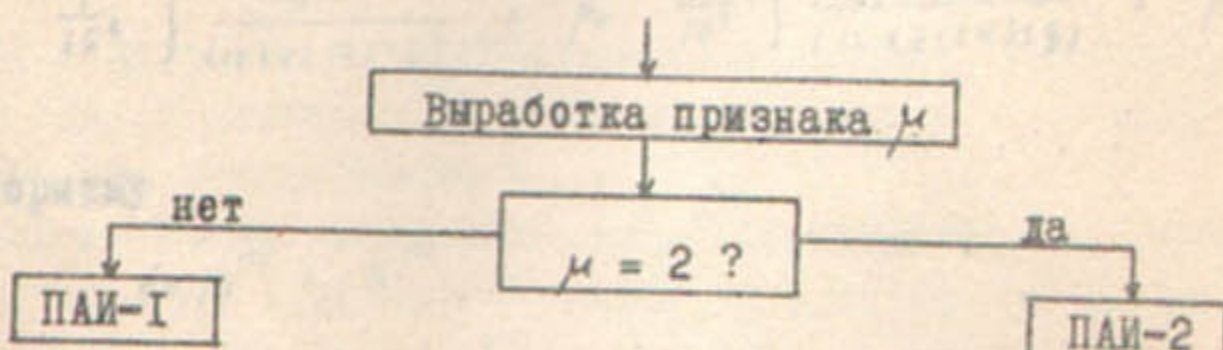


Рис. 7.

Целесообразно предварительно рассмотреть некоторые блоки ПАИ.

I) Блок "расшифровки" (БР)

Всего в рассматриваемой задаче возможны 10 скалярных произведений вида $P_i P_k$. Пользуясь законами сохранения, их можно представить в виде

линейной комбинации μ^2 , m^2 и инвариантов β и γ :

$$p_4 p_k = a_{ik} \mu^2 + b_{ik} m^2 + c_{ik} \beta + d_{ik} \gamma$$

Будем называть эту операцию "расшифровкой" скалярного произведения. Выполняется "расшифровка" следующим образом:

В массиве информации к БР записаны 10 строк вида 000; $p_i p_k$, K , 0000. Первый адрес строки указывает, о каком скалярном произведении идет речь, а K — номер ячейки, в которой содержится коэффициент a_{ik} . В ячейках $K+1$, $K+2$, $K+3$ содержатся коэффициенты b_{ik} , c_{ik} , d_{ik} .

Например:

000 0401 1740 000	1740	- 1/2
	1	- 1/2
	2	+ 1/2
	3	- 1/2

означает

$$p_4 p_1 = - \frac{1}{2} \mu^2 - \frac{1}{2} m^2 + \frac{1}{2} \beta - \frac{1}{2} \gamma$$

Блок расшифровки находит для pp -произведения β_2 строку с адресом четверки коэффициентов a_{ik} , b_{ik} , c_{ik} , d_{ik} и заносит эти коэффициенты в четыре последовательные "арифметические ячейки" $N_1(n_{11}, n_{12}, n_{13}, n_{14})$ а в четыре "алгебраические" ячейки $M_2(m_{11}, m_{12}, m_{13}, m_{14})$ заносит символы величин μ^2 , m^2 , β , γ . Затем расшифровываются β_2 и β_3 .

В случае скалярного произведения типа kp БР сразу же вычисляет интеграл

$$\frac{1}{i\pi^2} \int \frac{(\kappa p) d^4 k}{(1)(3)(\kappa)(\gamma)} = p_c \cdot \frac{1}{i\pi^2} \int \frac{\kappa_\sigma d^4 k}{(1)(3)(\kappa)(\gamma)} = p_c \ell_c^{(n)}$$

по алгоритму

$$\kappa_\sigma p_c^{(n)} = \mu^{(n)},$$

$$p_{4\sigma} \ell_c^{(n)} = - \frac{1}{2} \bar{y} + \frac{1}{2} \mu^{(n)} - \frac{1}{2} \beta^{(n)},$$

$$p_{3\sigma} \ell_c^{(n)} = - \frac{1}{2} \bar{y} + \frac{1}{2} \mu^{(n)},$$

(5)

$$p_{2\sigma} \ell_c^{(n)} = \frac{1}{2} \bar{y} - \frac{1}{2} \mu^{(n)} + \frac{1}{2} \beta^{(n)},$$

$$p_{1\sigma} \ell_c^{(n)} = \frac{1}{2} \bar{y} - \frac{1}{2} \mu^{(n)}$$

Принцип работы БР в этом случае прежний, только в алгебраические ячейки засыпаются символы ψ , $\bar{\psi}$, H'' , $\beta\beta''$, а не μ^2 , m^2 , β , γ .

Пример:

Преобразование

$$\frac{1}{i\pi^2} \int \frac{(\rho_1 \rho_2)(\rho_3 \rho_4)}{(r)(z)(k)(y)} d^4 k = (-m^2)(-\frac{1}{2}\psi + \frac{1}{2}H'')(-\frac{1}{2}\mu^2 - \frac{1}{2}m^2 + \frac{1}{2}\beta - \frac{1}{2}\gamma)$$

в БР выглядит так:

$$\begin{array}{c} 0101 \\ 0503 \\ 0401 \end{array} \rightarrow \begin{array}{c} 0000 \quad 0000 \quad 0017 \\ 0000 \quad 0000 \quad 0020 \\ 0010 \quad 0000 \quad 0000 \\ 0020 \quad 0000 \quad 0000 \end{array} \left. \begin{array}{c} \mu_1 \\ \mu_2 \\ \mu_3 \end{array} \right\} \begin{array}{c} 0 \\ -1 \\ 0 \\ 0 \end{array} \left. \begin{array}{c} N_1 \\ N_2 \\ N_3 \end{array} \right\}$$

$$\begin{array}{c} 0000 \quad 0000 \quad 0001 \\ 0000 \quad 0000 \quad 0002 \\ 0000 \quad 0000 \quad 0010 \\ 0010 \quad 0700 \quad 0000 \end{array} \left. \begin{array}{c} \mu_1 \\ \mu_2 \\ \mu_3 \end{array} \right\} \begin{array}{c} 0 \\ -1/2 \\ +1/2 \\ 0 \end{array} \left. \begin{array}{c} N_1 \\ N_2 \\ N_3 \end{array} \right\}$$

$$\begin{array}{c} 0000 \quad 0000 \quad 0017 \\ 0000 \quad 0000 \quad 0020 \\ 0010 \quad 0000 \quad 0000 \\ 0020 \quad 0000 \quad 0000 \end{array} \left. \begin{array}{c} \mu_1 \\ \mu_2 \\ \mu_3 \end{array} \right\} \begin{array}{c} -1/2 \\ -1/2 \\ +1/2 \\ -1/2 \end{array} \left. \begin{array}{c} N_1 \\ N_2 \\ N_3 \end{array} \right\}$$

Блок-схема БР приведена на рис. 8.

2) Блок подготовки.

Блок подготовки перерабатывает информацию, записанную в \mathcal{P} :

- 1) меняет знак у отличных от нуля коэффициентов μ_i , если $\epsilon_i = 2$;
- 2) умножает эти коэффициенты на 4, если $\epsilon_i = 2$;
- 3) умножает по ПАУ-2 соответствующие "алгебраические" символы из μ_i на m^2 , если $\epsilon_3 = 1$; на μ^2 , если $\epsilon_3 = 2$; на $\mu^2 m^2$, если $\epsilon_3 = 3$;
- 4) умножает по ПАУ-2 μ_i на β'' , если $\mu = 0$. Этим самым, согласно (3) выполняется интегрирование по $d^4 k$ в этом случае.

3) Блок приведения подобных членов (БПП)

В блок поступает один из одночленов \mathcal{L} , предусмотренных программой "шаблон", и численный коэффициент при нем ω . Блок просматривает "шаблон", находит строку, совпадающую с \mathcal{L} , и к соответствующему коэффициенту прибавляет ω .

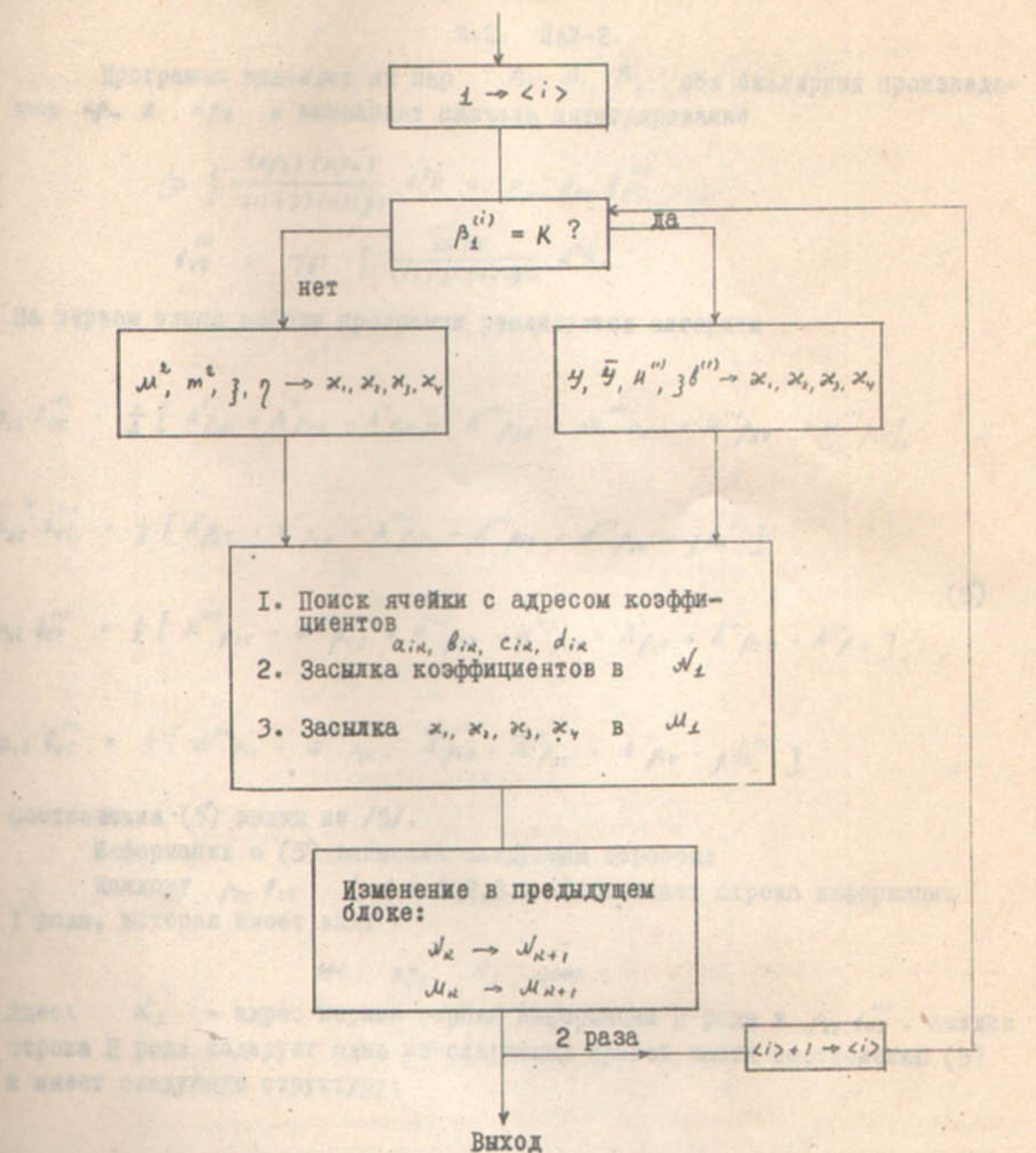


Рис. 8,

8.1. ПАИ-1.

Работа ПАИ-1 ясна из рис.9. Упрощения, вносимые в программу при $N_2 = 0$ или $N_3 = 0$, не показаны. Косой крест означает умножение одночленов по ПАУ-2, точка - обычное умножение чисел.

8.2. ПАИ-2.

Программа выделяет из пар $\beta_1, \beta_2, \beta_3$ оба скалярных произведения κ_{re} и κ_{pe} и выполняет сначала интегрирование

$$\frac{1}{i\pi^2} \int \frac{(\kappa_{re})(\kappa_{pe})}{(1)(3)(R)(\gamma)} d^4 k = \rho_{re} \rho_{pe} \ell_{\sigma\tau}^{(m)},$$

$$\ell_{\sigma\tau}^{(m)} = \frac{1}{i\pi^2} \int \frac{\kappa_{re} \kappa_{pe}}{(1)(3)(R)(\gamma)} d^4 k$$

На первом этапе работы программы реализуется алгоритм

$$\begin{aligned} \rho_{1\tau} \ell_{\sigma\tau}^{(m)} &= \frac{1}{2} [A' \rho_{3\sigma} + A'' \rho_{2\sigma} - A''' \rho_{1\sigma} - K''' \rho_{2\sigma} + N''' \rho_{4\sigma} - H''' \rho_{2\sigma} + H''' \rho_{1\sigma}], \\ \rho_{2\tau} \ell_{\sigma\tau}^{(m)} &= \frac{1}{2} [A' \rho_{3\sigma} + A'' \rho_{2\sigma} - A''' \rho_{1\sigma} - K''' \rho_{1\sigma} + N''' \rho_{2\sigma} + J \ell_{\sigma}^{(m)}] \\ \rho_{3\tau} \ell_{\sigma\tau}^{(m)} &= \frac{1}{2} [K''' \rho_{2\sigma} - N''' \rho_{4\sigma} + H''' \rho_{2\sigma} - H''' \rho_{1\sigma} + \bar{A}' \rho_{1\sigma} + \bar{A}'' \rho_{2\sigma} - \bar{A}''' \rho_{1\sigma}], \\ \rho_{4\tau} \ell_{\sigma\tau}^{(m)} &= \frac{1}{2} [K''' \rho_{1\sigma} - N''' \rho_{3\sigma} - \bar{A}' \rho_{1\sigma} - \bar{A}'' \rho_{2\sigma} + \bar{A}''' \rho_{1\sigma} - J \ell_{\sigma}^{(m)}] \end{aligned} \quad (5)$$

Соотношения (5) взяты из /5/.

Информация о (5) записана следующим образом:

Каждому $\rho_{\ell\tau} \ell_{\sigma\tau}^{(m)}$ ($\ell = 1, 2, 3, 4$) отвечает строка информации П рода, которая имеет вид:

600 ; κ_{re} , K_1 , 6000

Здесь K_1 - адрес первой строки информации П рода к $\rho_{\ell\tau} \ell_{\sigma\tau}^{(m)}$. Каждая строка П рода кодирует одно из слагаемых правой части соотношений (5) и имеет следующую структуру:

e, 60 ; ϕ_k , 60 ρ_i , 6000

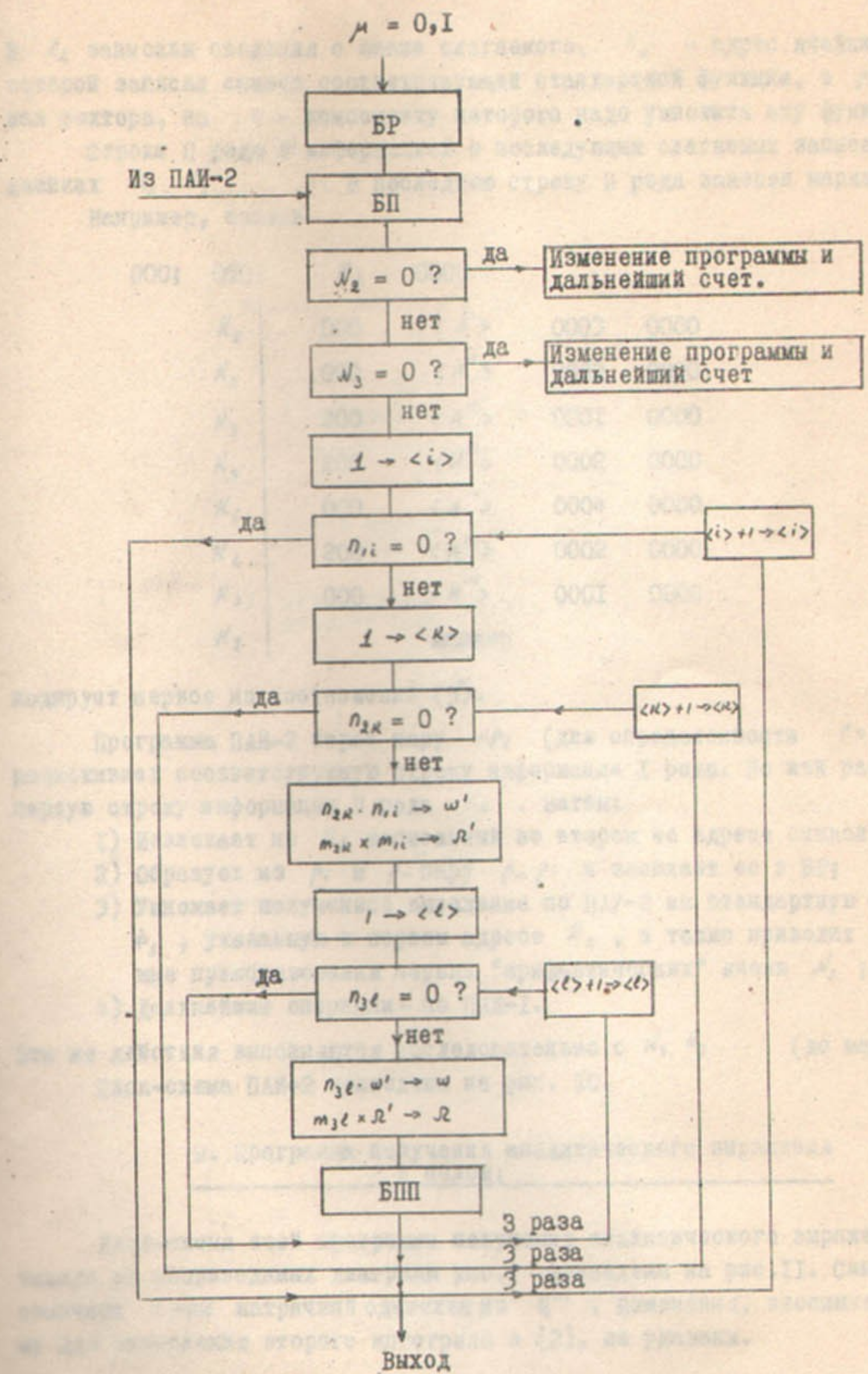


РИС. 9.

В ϵ_1 записаны сведения о знаке слагаемого, K_1 - адрес ячейки, в которой записан символ соответствующей стандартной функции, а r_i - символ вектора, на σ - компоненту которого надо умножить эту функцию.

Строки II рода с информацией о последующих слагаемых записаны в ячейках $K_2, K_3 \dots$. В последнюю строку II рода занесен маркер.

Например, запись

000; 050I	K_1	0000		
	K_1	000	$\langle A' \rangle$	0003 0000
	K_2	000	$\langle A'' \rangle$	0002 0000
	K_3	200	$\langle A''' \rangle$	0001 0000
	K_4	200	$\langle H'' \rangle$	0002 0000
	K_5	000	$\langle N''' \rangle$	0004 0000
	K_6	200	$\langle H''' \rangle$	0002 0000
	K_7	000	$\langle H'''' \rangle$	0001 0000
	K_8		маркер	

кодирует первое из соотношений (5).

Программа ПАИ-2 берет пару $\langle r_i \rangle$ (для определенности $\langle r_m \rangle$) и разыскивает соответствующую строку информации I рода. По ней разыскивает первую строку информации II рода K_1 . Затем:

- 1) Извлекает из K_1 записанный во втором ее адресе символ r_i ;
- 2) Образует из r_i и r_m пару $r_m r_i$ и засыпает ее в БР;
- 3) Умножает полученное выражение по ПАУ-2 на стандартную функцию ϕ_i , указанную в первом адресе K_1 , а также приводит необходимые преобразования первых "арифметических" ячеек N_1 ;
- 4) Дальнейшие операции - по ПАИ-1.

Эти же действия выполняются последовательно с $K_2, K_3 \dots$ (до маркера).

Блок-схема ПАИ-2 приведена на рис. IO.

9. Программа получения аналитического выражения в целом.

Блок-схема всей программы получения аналитического выражения для вклада от неприводимых диаграмм рис. I приведена на рис. II. Символ $Q_i^{(n)}$ означает i -ый матричный одночлен из $Q^{(n)}$. Изменения, вносимые в программу для вычисления второго интеграла в (2), не указаны.

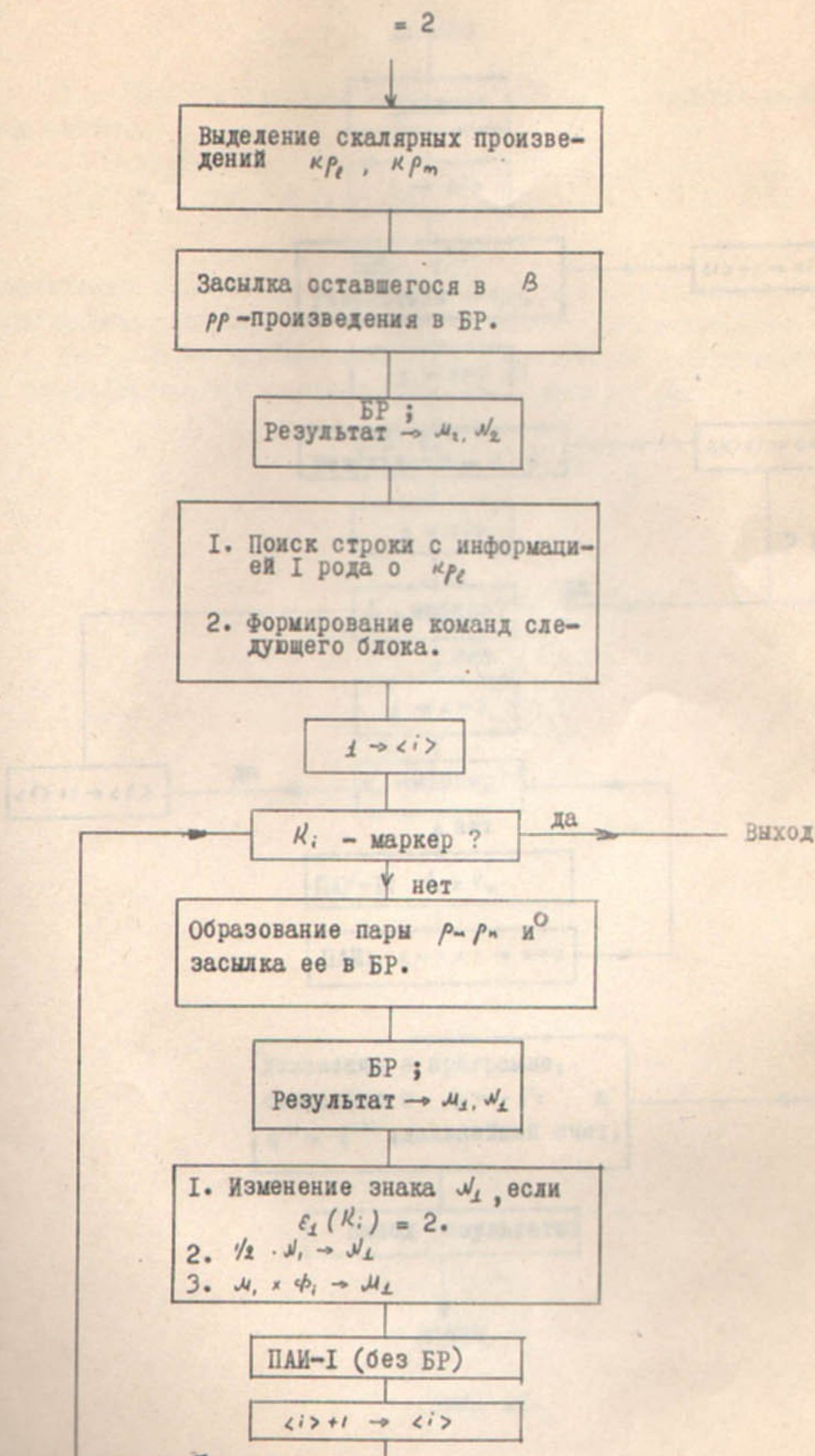


Рис. 10. - тд -

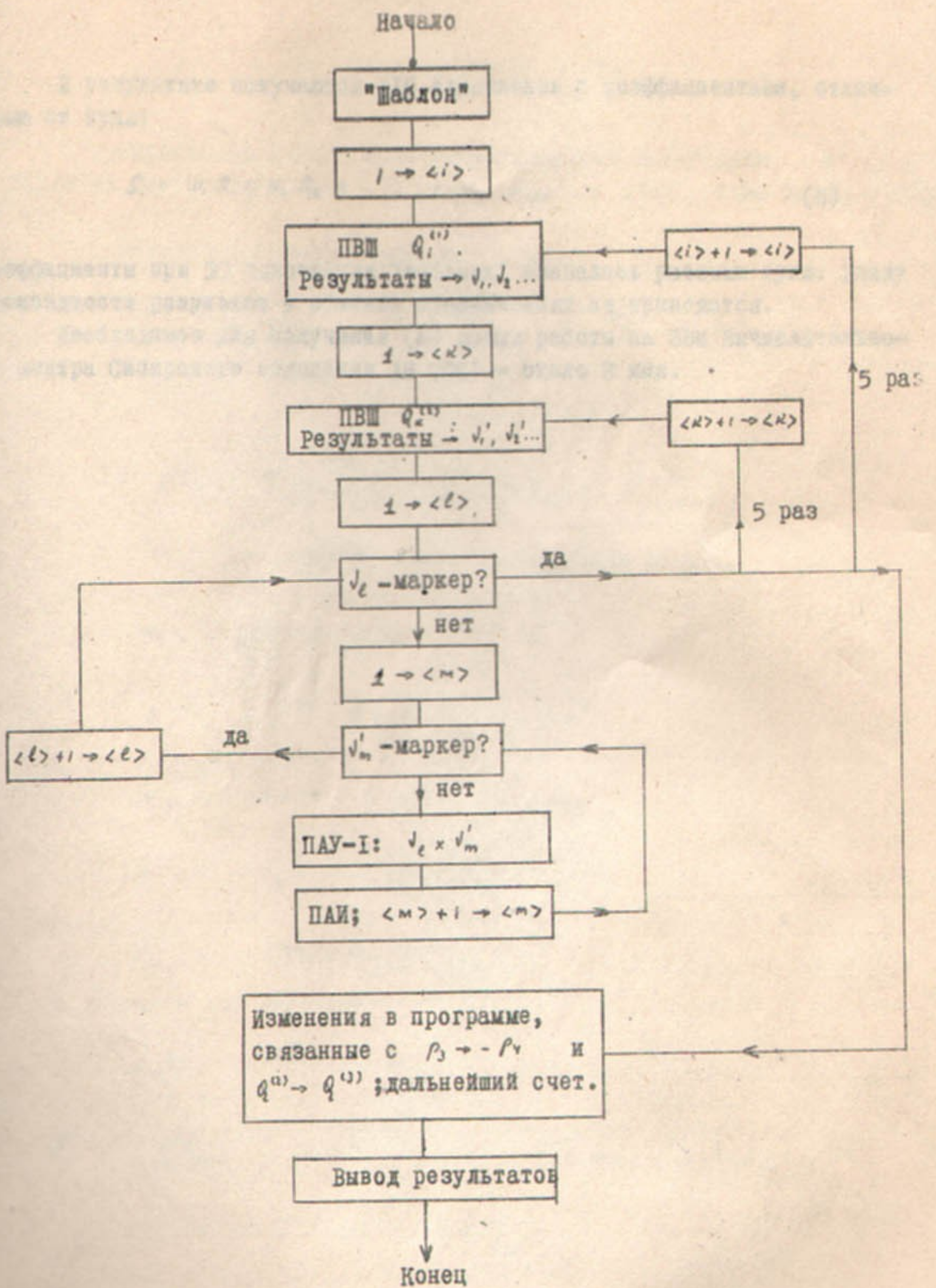


Рис. II.

В результате получаются 110 одночленов с коэффициентами, отличными от нуля:

$$S_1 = \omega_1 R_1 + \omega_2 R_2 + \dots + \omega_{110} R_{110} \quad (6)$$

Коэффициенты при 50 одночленах "шаблона" оказались равными нулю. Ввиду громоздкости результат в обычных обозначениях не приводится.

Необходимое для получения (6) время работы на ЭВМ Вычислительно-го центра Сибирского отделения АН СССР - около 8 мин.

III. АРИФМЕТИЧЕСКАЯ ЧАСТЬ .

Арифметическая часть программы вычисляет инварианты и для заданных энергий процесса и угла рассеяния и стандартные функции задачи.

Стандартные функции имеют явный вид:

$$\bar{\mathcal{Y}} = \frac{1}{2\sqrt{3(3+4)}} \left[\omega^2 \frac{1-\bar{\rho}}{\bar{\rho}} - \omega^2 \frac{\bar{\alpha}-1}{\bar{\alpha}} - 2\phi\left(\frac{\bar{\rho}}{\bar{\rho}-1}\right) + 2\phi\left(\frac{\bar{\alpha}}{\bar{\alpha}-1}\right) + \pi^2 \right],$$

$$\bar{\alpha} = \frac{1}{2} [3+2+\sqrt{3(3+4)}], \quad \bar{\rho} = \frac{1}{2} [3+2-\sqrt{3(3+4)}],$$

$$\phi(x) = - \int_0^x \frac{\omega(1-y)}{y} dy \quad \text{— функция Спенса;}$$

$$\mathcal{Y}_3 = \mu^{-2} \mathcal{Y}(3/\mu^2),$$

$$A' = (3\mathcal{Y} - 2\omega_3^2/\mu^2)/(3+4\mu^2);$$

$$A'' = (2\mu^2\mathcal{Y} + \omega_3^2/\mu^2)/(3+4\mu^2);$$

$$\bar{A}' = -(3\bar{\mathcal{Y}} - 2\omega_3)/(\bar{\alpha}+4);$$

$$\bar{A}'' = (2\bar{\mathcal{Y}} + \omega_3)/(\bar{\alpha}+4);$$

$$K''' = \mathcal{Y}''' + \mu''' \omega \lambda^2,$$

$$\begin{aligned} \mathcal{Y}''' = & \frac{i}{\rho^2 \sin 2\theta} \left[(\gamma_1 + \gamma_2) \ln(\rho \sin \theta) - \gamma_1 \ln \sin \gamma_1 - \gamma_2 \ln \sin \gamma_2 + \right. \\ & \left. + L(\gamma_1) + L(\gamma_2) \right], \end{aligned}$$

$$\gamma_1 = \operatorname{Arth} (1 - 2\alpha) \operatorname{th} \theta, \quad \gamma_2 = \operatorname{Arth} (1 + 2\alpha) \operatorname{th} \theta,$$

$$\alpha = -\frac{1}{2}(1 + \beta/\alpha), \quad \sin^2 \theta = \alpha/4\rho^2, \quad \beta^2 = -(\alpha^2 \alpha + \alpha \beta + c),$$

$$\alpha = -(\gamma + 2\mu^2 + 2), \quad \beta = \gamma + 3\mu^2 + 1, \quad c = -\mu^2,$$

$$L(z) = \int_0^z z' \operatorname{th} z' dz'$$

$$\mu''' = \frac{1}{2\rho^2 \operatorname{sh} 2\theta} \left(\operatorname{Arth} \frac{\beta}{2\rho^2 \operatorname{sh} 2\theta} - \operatorname{Arth} \frac{2\alpha + \beta}{2\rho^2 \operatorname{sh} 2\theta} \right);$$

$$\ell''' = -\left(2\mu'''/3\right) \ln(j/\lambda^2),$$

$$\kappa''' = \left(1 - \frac{\mu^2 - 1}{\alpha}\right) \mu''' - \frac{c_4 \mu}{\alpha},$$

$$\nu''' = 2\mu''' - \kappa''' ;$$

величины с верхним индексом 2 получаются из соответствующих величин с верхним индексом 1 заменой:

$$\gamma \rightarrow -j - 2\mu^2 - 2,$$

что эквивалентно

$$\rho_3 \rightarrow -\rho_4$$

Все приведенные выражения (7), кроме $A', A'', \bar{A}', \bar{A}'', H''$ взяты из /5/.

Представляет некоторый интерес вычисление $\phi(z)$ и $L(z)$, входящих в выражения для стандартных функций.

Для функции Спенса получено быстросходящееся в области $\operatorname{Re} z < \frac{1}{2}$, $|z| < 1$ разложение:

$$\phi(z) = z + \frac{1}{2} + (1-z) \sum_{n=1}^{\infty} (-1)^n \beta_n S_n(u),$$

$$S_n(u) = \sum_{\kappa=2n+1}^{\infty} \frac{(-u)^{\kappa}}{\kappa!}, \quad u = \ln(1-z),$$

B_n - числа Бернулли: $B_1 = \frac{1}{6}, B_2 = \frac{1}{30}, \dots$ (8)

В остальной области изменения ζ могут быть использованы различные формулы приведения /II/.

Для функции $L(\zeta)$ получены выражения:

$$L(\zeta) = \frac{\zeta^2}{2} - \zeta \ln(1+t) + \frac{i}{2} \phi(-t) - \frac{\pi^2}{24}, \quad t = e^{-\zeta^2}$$

($\operatorname{Re} \zeta > 0, \operatorname{Im} \zeta \neq 0$)

$$L(iy) = i \left[\Psi(y - \frac{\pi}{2}) + \frac{\pi}{2} \ln 2 + \frac{\pi}{2} \ln |\cos y| \right],$$

($\operatorname{Im} y = 0, |y| < \pi$)

$$\Psi(x) = x \left[1 - 2 \sum_{n=1}^{\infty} \frac{3(2n)}{2n+1} \left(\frac{x}{\pi} \right)^{2n} \right],$$

$$\zeta(s) = 1 + \frac{1}{2^s} + \frac{1}{3^s} + \dots - \text{функция Римана.} \quad (9)$$

Для вычисления $L(\zeta)$ в области $\operatorname{Re} \zeta < 0$ использовалась нечетность функции.

IV. ПОЛУЧЕНИЕ ЧИСЛЕННЫХ РЕЗУЛЬТАТОВ.

Выписывать явный вид (6), а затем "вручную" составлять программу для счета S , нерационально. В работе применен прием, который в принципе сводится к следующему:

Результаты арифметической части программы заносятся в ячейки, номер которых совпадает с двузначным кодом символа соответствующей стандартной функции. Например, $\rho^{(2)}$ заносится в ячейку 0013, δ - в 0001 и т.д. Затем специальная расшифровывающая программа извлекает в качестве первого сомножителя стандартную функцию, записанную в начале ω_1 , в качестве второго сомножителя - следующую стандартную функцию и т.д., перемножает их и умножает результат на $\omega_1 \omega_2$. Аналогичные операции выполняются с $\omega_3 \omega_4$ и т.д.

Для перехода от процесса $e^+ + \mu^- \rightarrow e^+ + \mu^-$ к другим электрон-мюонным процессам нужно лишь в определении ω_1 и ω_2 произвести замену:

$$1) \quad e^+ + \mu^- \rightarrow e^+ + \mu^-$$

$\rho_1 \rightarrow -\rho_{2+}$, $\rho_2 \rightarrow -\rho_{1+}$, где ρ_{1+} и ρ_{2+} - 4-импульсы начального и конечного позитронов; смысл ρ_3 и ρ_4 - прежний

$$2) \quad e^+ + e^- \rightarrow \mu^- + \mu^+$$

$\rho_1 \rightarrow \rho_-$, $\rho_2 \rightarrow -\rho_+$, $\rho_3 \rightarrow -\rho_+$, $\rho_4 \rightarrow \rho_-$, где ρ_- и ρ_+ - 4-импульсы соответственно электрона и позитрона, ρ_- и ρ_+ - 4-импульсы соответственно отрицательного и положительного мюонов.

Примеры расчета вклада от неприводимых диаграмм приведены на рис. I2 и I3. Энергия всюду в единицах m^2 , λ положено равным 1. Как видно из результатов, приближение, принятное в [5], является в рассматриваемой области энергий достаточно хорошим.

Время счета одной точки на ЭВМ Вычислительного центра СО АН СССР - около 1 сек.

Имеется также программа для расчета вклада δ_2 от радиационных поправок, связанных с вершинной частью и собственной массой фотона, и δ_3 - поправки, связанной с излучением мягких квантов.

Пользуюсь случаем выразить благодарность кандидату физ.-мат. наук В.Н.Байеру за инициирование работы и обсуждение результатов, доктору физ.-мат. наук М.К.Фаге за обсуждение методики работы и И.Е.Смеловой за помощь в отладке арифметической части программы.

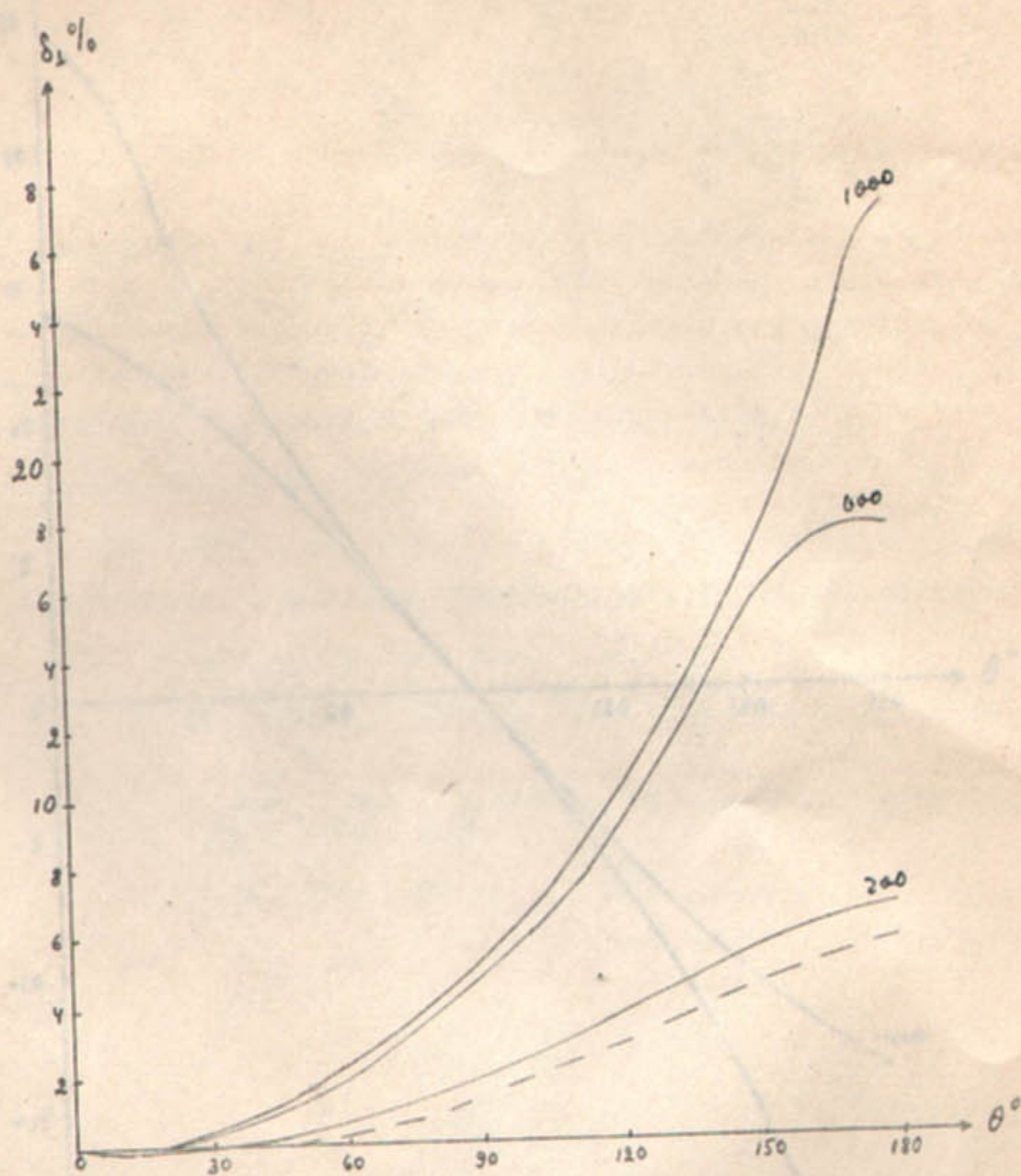


Рис. I2.

Вклад от неприводимых диаграмм для случая рассеяния частиц одного знака. Цифры на кривых - энергия налетающего электрона в с.ц.и. θ - угол рассеяния. В случае частиц разного знака δ_1 сохраняет абсолютную величину, но меняет знак.
Пунктиром проведена кривая для $E = 200$ из /5/.

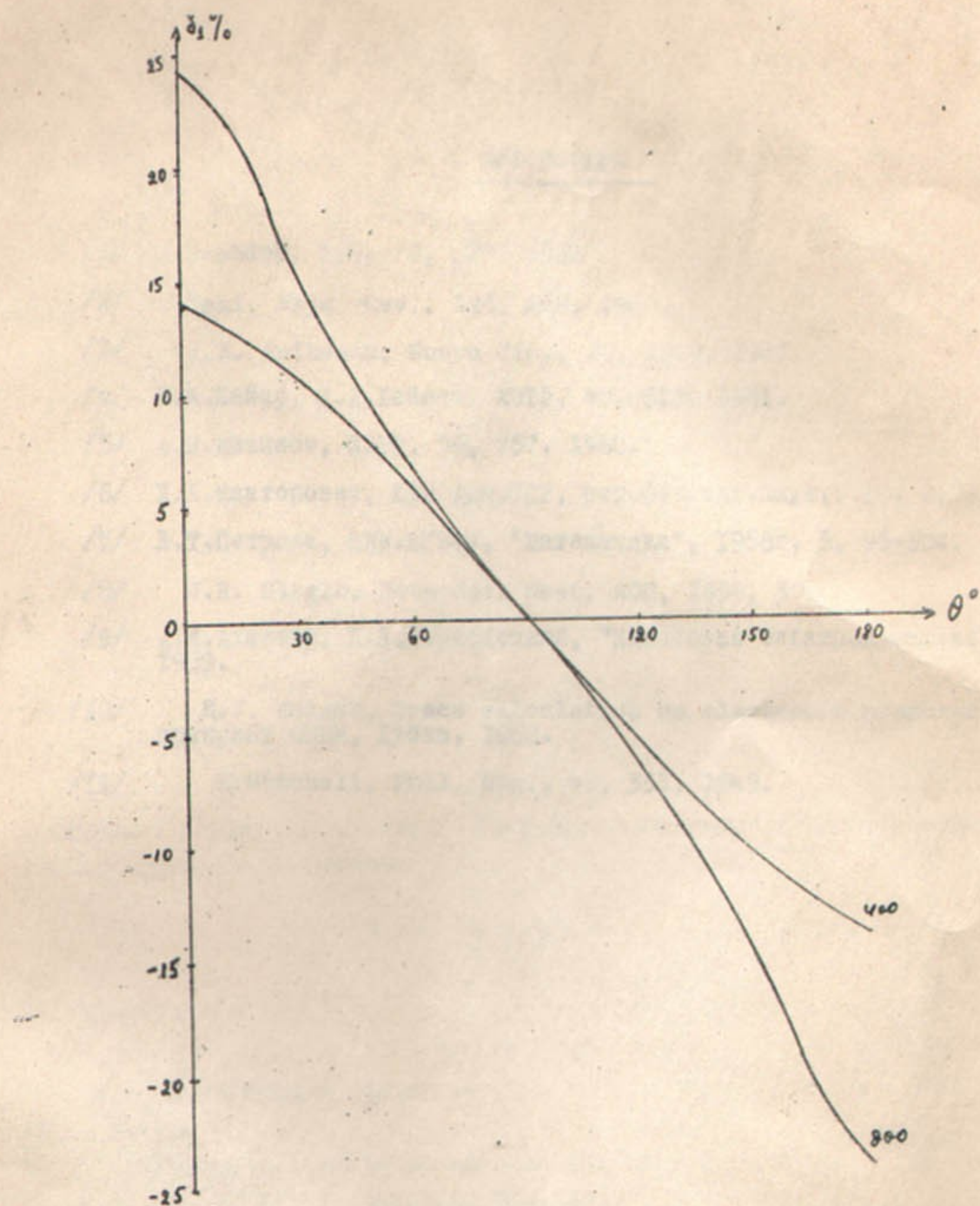


Рис. 13.

Вклад от неприводимых диаграмм для процесса $e^+ + e^- \rightarrow \mu^+ + \mu^-$.
Цифры на кривых — энергия электрона в с.ц.и. θ — угол между налетающим электроном и вылетающим μ^- -мезоном в с.ц.и.

Литература

- /1/ В.Н.Байер, УФН, 78, 620, 1962
- /2/ Tsai, Phys. Rev., 120, 269, 1960.
- /3/ К.Е. Eriksson, Nuovo Cim., 19, 1029, 1961.
- /4/ В.Н.Байер, С.А.Хейфец, ЖЭТФ, 40, 613, 1961.
- /5/ А.И.Никишов, ЖЭТФ, 39, 757, 1960.
- /6/ Л.В.Канторович, ИАН Арм.ССР, сер.физ.мат.наук, т.10, 2,3-16, 1957.
- /7/ Л.Т.Петрова, Изв.ВУЗов, "Математика", 1958г, 5, 95-104.
- /8/ J.R. Slagle, 14th Nat. Meet. ACM, 1959, 30.
- /9/ А.И.Ахиезер, В.Б.Берестецкий, "Квантовая электродинамика", М, 1959.
- /10/ Н.J. Kaiser, Trace calculation on electronic computer,
препринт ОИЯИ, Дубна, 1962.
- /II/ K.Mitchell, Phil. Mag., 40, 351, 1949.

Ответственный за выпуск В.В.Соколов
подписано к печати №Н02721
формат бумаги 270 x 190, тираж 200
заказ № 024 . Бесплатно

Отпечатано на ротапринте в Институте ядерной
физики СО АН СССР.